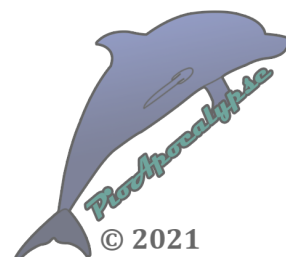


# **Appunti di Scienza delle Costruzioni**

## **Capitolo 05a**

### **Problema elasto-statico**



I contenuti del seguente documento sono protetti sotto licenza [Creative Commons BY-NC-SA 4.0](#): sono quindi ammesse la **condivisione**, la **ridistribuzione** e la **modifica** del materiale ivi contenuto, sotto le seguenti condizioni:

- **Attribuzione**: nel documento originale e nelle sue modifiche deve sempre figurare il nome reale o lo pseudonimo dell'autore, nonché la bibliografia originale;
- **Non-Commerciale**: è vietato qualsiasi utilizzo del presente documento e dei suoi contenuti a scopo commerciale e/o pubblicitario; ciò include la rivendita dello stesso o di parte dei suoi contenuti, ma è permessa la vendita a prezzo di stampa;
- **Share-Alike**: (it: "*Condividi allo stesso modo*") qualsiasi ridistribuzione del documento modificato o di parte di esso deve essere reso disponibile sotto la stessa licenza dell'originale, o sotto licenza ad essa compatibile.

Si chiede inoltre, anche se non è espressamente vietato, di non ridistribuire tale documento o parte dello stesso su piattaforme cloud private per pubblicizzare associazioni o eventi.

#### **DISCLAIMER GENERALE:**

L'autore - [PioApocalypse](#) - non si assume alcuna responsabilità per l'uso improprio dei contenuti di questo documento, né si ritiene responsabile della performance - positiva o negativa che sia - dello studente in sede d'esame.

Il materiale didattico qui fornito è da considerarsi come un supplemento al materiale indicato dal docente della materia, e trova le sue utilità principali nel riepilogo di lunghi segmenti del programma e nella spiegazione di determinati argomenti in cui lo studente potrebbe aver riscontrato difficoltà. Alcuni termini e semplificazioni qui utilizzati potrebbero non essere idonei durante la discussione degli argomenti del corso con il docente in sede d'esame, e sono proposti solo al fine di aiutare lo studente con la comprensione della materia.

Si prega, infine, di segnalare eventuali errori trovati all'interno del documento all'indirizzo e-mail indicato sulla [repository ufficiale](#), presso la quale è anche possibile trovare un link per chiunque desiderasse fare una piccola donazione all'autore.

Si ringrazia in anticipo per la cooperazione.

- PioApocalypse

## LEGAMI COSTITUTIVI DELLA TRAVE

Partiamo dalle equazioni di Navier:



$$\begin{cases} \varepsilon_x = \frac{1}{E} \cdot (\sigma_x - \nu(\sigma_y + \sigma_z)) \\ \varepsilon_y = \frac{1}{E} \cdot (\sigma_y - \nu(\sigma_x + \sigma_z)) \\ \varepsilon_z = \frac{1}{E} \cdot (\sigma_z - \nu(\sigma_x + \sigma_y)) \end{cases}$$

Dunque: 
$$\varepsilon_x + \varepsilon_y = \frac{1}{E}(\sigma_x + \sigma_y) - \frac{\nu}{E}(\sigma_x + \sigma_y + 2\sigma_z)$$

Lavoriamo sotto ipotesi di indeformabilità della sezione retta, che ammette non-nulla solo la deformazione lungo l'asse z; quindi:

$$\cancel{\varepsilon_x} + \cancel{\varepsilon_y} = 0 = \frac{1}{E}(\sigma_x + \sigma_y) - \frac{\nu}{E}(\sigma_x + \sigma_y + 2\sigma_z)$$

$$(\sigma_x + \sigma_y)(1 - \nu) = 2\nu\sigma_z \rightarrow \sigma_x + \sigma_y = \frac{2\nu}{1-\nu}\sigma_z$$

Quindi, dalle Navier #3: 
$$\varepsilon_z = \frac{\sigma_z}{E} \left(1 - \frac{2\nu^2}{1-\nu}\right)$$

Siccome  $-1 \leq \nu \leq 0,5$ ,  $\nu^2 \ll \nu \rightarrow \varepsilon_z \approx \frac{\sigma_z}{E}$

Torniamo dunque alle tensioni generalizzate, partendo dallo sforzo normale.

$$N(z) = \int_{\Sigma(z)} \sigma_z d\Sigma = E \int_{\Sigma(z)} \varepsilon_z d\Sigma = \dots$$

Usiamo anche la deformazione generalizzata associata: 
$$= E \int_{\Sigma(z)} (\varepsilon(z) + \theta_x y - \theta_y x) dx dy$$

Ossia: 
$$E \varepsilon(z) \Sigma(z) + E \theta_x \cancel{S_x} - E \theta_y \cancel{S_y}$$

Le rotazioni sono assunte rispetto agli assi baricentrici, per i quali - per definizione - il momento statico è nullo. Quindi, ricapitolando:

$$N(z) = E \varepsilon(z) \Sigma(z) \rightarrow \boxed{\varepsilon(z) = \frac{N(z)}{E \cdot \Sigma(z)}}$$

## TAGLIO E SCORRIMENTI ANGOLARI

$$T_x(z) = \int_{\Sigma(z)} \tau_{xz}(x, y, z) \cdot d\Sigma \quad \text{ma} \quad \tau_{xz} = G \cdot \gamma_{xz}$$

dunque: 
$$T_x(z) = \int_{\Sigma(z)} G \cdot \gamma_{xz} \cdot d\Sigma = G \cdot \gamma_x(z) \cdot \Sigma - G \cdot \theta_z \cdot \cancel{S_x}$$

$$\hookrightarrow T_x(z) = G \cdot \gamma_x(z) \cdot \Sigma(z) \rightarrow \boxed{\gamma_x(z) = \frac{T_x(z)}{G \cdot \Sigma(z)}}$$

Analogamente: 
$$T_y(z) = G \cdot \gamma_y(z) \cdot \Sigma(z) \rightarrow \boxed{\gamma_y(z) = \frac{T_y(z)}{G \cdot \Sigma(z)}}$$

$$\gamma_{xy} = \gamma_x + \gamma_y = \frac{T_x + T_y}{G \cdot \Sigma(z)} \quad \text{con} \quad G \cdot \Sigma(z) \doteq \text{FATTORE DI RIGIDEZZA ESTENSIONALE}$$

## MOMENTI FLETTENTI E TORCENTE

$$M_x(z) = \int_{\Sigma(z)} \sigma_z(z) \cdot y \cdot d\Sigma = E \int_{\Sigma(z)} y (\varepsilon(z) + \theta_x y - \theta_y x) dx dy =$$

$$= E (\varepsilon(z) \cdot S_x + \theta_x I_x - \theta_y J_{xy}) \quad (x, y, z \text{ TERNA PRINCIPALE D'INERZIA})$$

$$M_x(z) = E \theta_x I_x \rightarrow \theta_x(z) = \frac{M_x(z)}{E I_x}$$

$$\text{Analogamente: } M_y(z) = E \theta_y I_y \rightarrow \theta_y(z) = \frac{M_y(z)}{E I_y}$$

$$M_t(z) = \int_{\Sigma(z)} (\tau_{yz} \cdot x - \tau_{xz} \cdot y) d\Sigma = \int_{\Sigma(z)} q (\gamma_{yz} \cdot x - \gamma_{xz} \cdot y) d\Sigma = \dots$$

$$\dots = q (\gamma_y \cdot S_y + \theta_z \cdot I_y - \gamma_x \cdot S_x + \theta_z \cdot I_x) = q \theta_z (I_x + I_y) = q \theta_z I_p$$

$$M_t(z) = q \cdot \theta_z(z) \cdot I_p \rightarrow \theta_z(z) = \frac{M_t(z)}{q \cdot I_p} \quad \text{con } I_p \doteq \text{MOM. D'INERZIA POLARE}$$

Giusto per ribadire alcune cose:

- I momenti statici nella terna centrale d'inerzia sono nulli perché la distanza dell'asse baricentrico dal baricentro è ovviamente nulla;
- Siccome la sezione retta appartiene al piano x-y, possiamo semplificare i momenti d'inerzia come segue:

$$z=0 \quad I_x = \int y^2 d\Sigma \quad I_y = \int x^2 d\Sigma \quad I_z = \int (x^2 + y^2) d\Sigma = I_p$$

- Poiché la sezione retta è piana e giace sul piano x-y, gli assi x, y e l'asse ad essi perpendicolare (z) costituiscono la terna principale d'inerzia; per definizione:

$$J_{xy} = 0$$

Tuttavia, l'ipotesi comportamentale di indeformabilità della sezione retta è contraddetta da un'altra teoria più fedele al comportamento reale della trave: parliamo del MODELLO DI TIMOSHENKO, che presuppone la non-trascurabilità degli scorrimenti angolari dovuti tensioni tangenziali (in altre parole, presuppone che la sezione retta si deformi, non rimanendo più sempre ortogonale all'asse della trave. Sotto questa ipotesi:

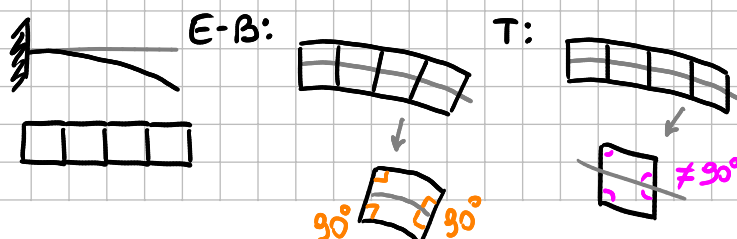
$$\gamma_x(z) = \beta_x \frac{T_x}{G \cdot \Sigma} + \beta_{xy} \frac{T_y}{G \cdot \Sigma}$$

$$\gamma_y(z) = \beta_{xy} \frac{T_x}{G \cdot \Sigma} + \beta_y \frac{T_y}{G \cdot \Sigma}$$

dove:  $\beta_x, \beta_y \doteq$  FATTORI DI TAGLIO SECONDO x/y  
 $\beta_{xy} \doteq$  FATTORE DI TAGLIO MISTO

Se la sezione retta ha almeno un asse di simmetria:  $\beta_{xy} = 0$

## EULERO-BERNOULLI E TIMOSHENKO



IL MODELLO DI EULERO-BERNOULLI, caso particolare del modello di Timoshenko - seppure sviluppato circa due secoli prima - assume che, a deformazione avvenuta, la generica sezione retta della trave sia ancora sempre ortogonale all'asse.

Il modello di trave di Eulero-Bernoulli è meno preciso rispetto a quel di Timoshenko, ma generalmente la differenza tra le deformazioni misurate con le due teorie è piccola, ovvero trascurabile, per cui si preferisce il più semplice modello di Eulero-Bernoulli.

Poiché la teoria di Timoshenko rimane la più fedele al comportamento reale della trave, vi sono casi per i quali questa è preferibile all'altra:

- Si usa la teoria di Timoshenko per deformazioni particolarmente elevate della trave, o per travi particolarmente corte;
- Si preferisce la teoria di Eulero-Bernoulli per travi snelle, con rapporto tra lunghezza e diametro della sezione retta pari o superiore a 5 (fissato per convenzione).

Di seguito, un video che ben spiega graficamente la differenza tra i due modelli (copia e incolla):

<https://www.youtube.com/watch?v=BxymIsGWehY> [Euler-Bernoulli vs Timoshenko Beam Theory]

**Ipotesi del modello di Eulero-Bernoulli:**

$$\begin{cases} \varphi_x(z) \approx 0 \\ \varphi_y(z) \approx 0 \end{cases} \leadsto \begin{cases} \varphi_y(z) = \frac{du(z)}{dz} \\ \varphi_x(z) = -\frac{dv(z)}{dz} \end{cases} \quad \begin{matrix} u \rightarrow \text{axe } x \\ v \rightarrow \text{axe } y \end{matrix}$$

Solo 4 spostamenti generalizzati ( $u$  incognite):  $u, v, \varphi_x, \varphi_y$

## DISTORSIONI

Le DISTORSIONI sono azioni esterne dovute a fenomeni non "puramente meccanici", come un gradiente di temperatura, che provocano deformazioni nei corpi. In presenza di distorsioni TERMICHE, ad esempio:

$$\varepsilon(z) + \varepsilon^*(z) = \frac{dw(z)}{dz} \quad \mu_x(z) + \mu_x^*(z) = \frac{du(z)}{dz} - \varphi_y(z)$$

$\varepsilon^*, \mu^*, \theta^* \doteq$  FATTORI TERMICI

Esempio: innalzamento della temperatura (omogeneo)

$$\Sigma \square \Sigma' \xrightarrow{\Delta T} \square \quad \varepsilon^* = \alpha \Delta T \quad \text{con } \alpha \doteq \text{COEFF. DI DILATAZIONE TERMICA}$$

Esempio: gradiente lineare di temperatura:

$$\Sigma \square \Sigma' \xrightarrow{\begin{matrix} -\Delta T \\ +\Delta T \end{matrix}} \square \quad \varepsilon^* = \frac{2\alpha\Delta T}{h} y \quad \theta_x^* = \frac{2\alpha\Delta T}{h y}$$

## PROBLEMA ELASTO-STATICO

IL METODO DELLA LINEA ELASTICA consiste nell'individuare un campo cinematico degli spostamenti ed esprimere tutto in funzione di esso tramite equazioni differenziali.

Tale metodo è essenziale per lo studio delle travi iperstatiche, le quali ammettono infinite soluzioni al solo problema statico: il PROBLEMA ELASTO-STATICO, invece, ammette sempre una e una sola soluzione, soddisfacendo le equazioni di congruenza esterna. È applicabile anche a strutture isostatiche.

## PROBLEMA ESTENSIONALE

$$\left. \begin{aligned} \varepsilon &= \frac{N}{EA} \\ \frac{dN}{dz} &= -p \\ \varepsilon^* + \varepsilon &= \frac{dw}{dz} \end{aligned} \right\} \begin{aligned} &1) \text{ Derivo l'equazione di congruenza interna in } dz: \quad \frac{d\varepsilon^*}{dz} + \frac{d\varepsilon}{dz} = \frac{d^2w}{dz^2} \\ &2) \text{ Aggiungo il legame costitutivo:} \end{aligned}$$

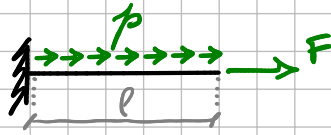
$$\frac{d\varepsilon^*}{dz} + \frac{d}{dz} \left( \frac{N}{EA} \right) = \frac{d^2w}{dz^2} \leadsto \frac{d\varepsilon^*}{dz} + \frac{1}{EA} \frac{dN}{dz} = \frac{d^2w}{dz^2}$$

3) Aggiungo l'equazione indefinita di equilibrio:  $\frac{dE^*}{dz} - \frac{1}{EA} p = \frac{d^2 w}{dz^2} \rightsquigarrow \frac{d^2 w}{dz^2} + \frac{1}{EA} p - \frac{dE^*}{dz} = 0$

4) Risolviamo l'equazione differenziale del secondo ordine (non omogenea):

$$W(z) = W_0 + W_p \quad \left\{ \begin{array}{l} W_0 = C_1 z + C_2 \\ W_p = W_p(z, p) = ? \end{array} \right. \quad \begin{array}{l} C_1 \text{ e } C_2 \text{ si trovano usando} \\ \text{come c.c. le eq. congr. est.} \end{array}$$

ESEMPIO:



$$\Sigma_0: \left\{ \begin{array}{l} W(0) = 0 \\ v(0) = 0 \\ \varphi(0) = 0 \end{array} \right. \quad \Sigma_l: \left\{ \begin{array}{l} N(l) = F \\ T(l) = 0 \\ M(l) = 0 \end{array} \right.$$

$p(z) = p$  (cost)  
NO DISTORSIONI

$$\frac{d^2 w}{dz^2} + \frac{1}{EA} p = 0 \quad \left\{ \begin{array}{l} W_0 = C_1 z + C_2 \\ W_p = \iint \frac{-p}{EA} dz dz \end{array} \right. \quad W(z) = -\frac{p}{2EA} z^2 + C_1 z + C_2$$

$$\left\{ \begin{array}{l} W(0) = 0 \\ N(l) = F \end{array} \right. \rightarrow W(0) = C_2 = 0$$

$$\rightarrow \varepsilon(l) = \frac{dw}{dz} \Big|_l = \frac{N(l)}{E \cdot A} \quad \frac{dw}{dz} = -\frac{p}{EA} z + C_1 \rightarrow C_1 = \frac{F + pl}{E \cdot A}$$

$$W(z) = \frac{F + pl}{E \cdot A} z - \frac{p}{2EA} z^2$$

Da cui:

$$N(z) = \left( \frac{F + pl}{E \cdot A} - \frac{pz}{EA} \right) EA \rightarrow N(0) = F + pl$$

$$\varepsilon(z) = \frac{F + pl}{E \cdot A} - \frac{pz}{EA} \rightarrow \varepsilon(l) = \frac{F}{EA}$$

## PROBLEMA DI FLESSIONE E TAGLIO

$$\left\{ \begin{array}{l} \theta_x = \frac{M_x}{EI_x} \\ \frac{dT}{dz} = -q \\ \theta_x^* + \theta_x = \frac{d\varphi_x}{dz} = -\frac{d^2 v}{dz^2} \end{array} \right. \quad \left\{ \begin{array}{l} \gamma_y = \beta_y \frac{T_y}{GA} \\ \frac{dM}{dz} = -C + T \\ \gamma_y^* + \gamma_y = \frac{dv}{dz} + \varphi_x \end{array} \right.$$

1) Derivo l'equazione indefinita di equilibrio in dz:

$$\frac{d^2 M}{dz^2} - \frac{dT}{dz} + \frac{dC}{dz} = 0$$

2) Aggiungo l'altra equazione indef. di equil.:

$$\frac{d^2 M}{dz^2} + q + \frac{dC}{dz} = 0$$

3) Aggiungiamo i legami costitutivi:

$$\frac{d^2}{dz^2} \theta_x EI_x + q + \frac{dC}{dz} = 0 \rightarrow EI_x \frac{d^2}{dz^2} \theta_x + q + \frac{dC}{dz} = 0$$

4) Aggiungiamo le equazioni di congruenza interna:

$$-EI_x \frac{d^4 v}{dz^4} - EI_x \frac{d\theta_x^*}{dz} + q + \frac{dC}{dz} = 0$$

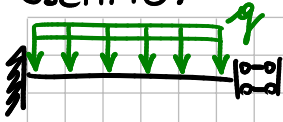
5) Risolviamo l'equazione differenziale del quarto ordine:

$$\frac{d^4 v}{dz^4} = \frac{q}{EI_x} + \frac{1}{EI_x} \cdot \frac{dC}{dz} - \frac{d\theta_x^*}{dz}$$

$$v(z) = v_0(z) + v_p(z)$$

$$\left\{ \begin{array}{l} v_0(z) = A_0 + A_1 z + A_2 z^2 + A_3 z^3 \\ v_p(z) = v_p(z, q, C) = ? \end{array} \right.$$

ESEMPIO:



2 volte iperstatica ( $3t - s = 3 - 5 = -2$ )

1 volta " per il solo problema flessionale ( $w, N=0$ )

$$S(f_e) = 2 + 1 = 3 \quad \#_{gl}(l) = 2t \rightarrow i = 3 - 2 = 1$$

In assenza di distorsioni termiche e coppie distribuite:

$$\frac{d^4 v}{dz^4} = \frac{q}{EI_x} \rightarrow v_p = \iiint \int \frac{q}{EI_x} dz^4 = \frac{q}{EI_x} \left( 1 \cdot \frac{1}{2} \cdot \frac{1}{3} \cdot \frac{1}{4} z^4 \right) = \frac{q}{EI_x} \cdot \frac{z^4}{24}$$

$$v(z) = A_0 + A_1 z + A_2 z^2 + A_3 z^3 + \frac{q}{EI_x} \cdot \frac{z^4}{24}$$

Quali sono le condizioni a contorno?

$$\left. \begin{array}{l} v(0) = 0 \\ \varphi(0) = 0 \end{array} \right\} \text{---} \left. \begin{array}{l} \varphi(l) = 0 \\ T(l) = 0 \end{array} \right\}$$

$$\left. \begin{array}{l} v(0) = 0 \rightarrow A_0 = 0 \\ \varphi(0) = 0 \rightarrow A_1 = 0 \end{array} \right\}$$

$$\varphi(z) = -\frac{dv}{dz} = -A_1 - 2A_2 z - 3A_3 z^2 - \frac{q}{EI_x} \cdot \frac{z^3}{6} \quad \varphi(l) = 0 \rightarrow -2A_2 l - 3A_3 l^2 - \frac{q}{EI_x} \cdot \frac{l^3}{6} = 0$$

$$T(l) = 0 \rightarrow -EI_x \frac{d^3 v}{dz^3} \Big|_l = 0 \rightarrow -EI_x \left( \frac{ql}{EI_x} + 6A_3 \right) = 0$$

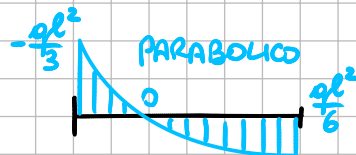
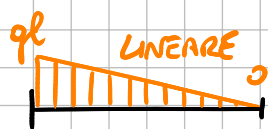
$$\hookrightarrow A_3 = -\frac{ql}{6EI_x}$$

Dunque  $A_2 = \frac{ql^2}{6EI_x}$

$$4 \text{ equazioni: } \left\{ \begin{array}{l} v(z) = \frac{ql^2}{6EI_x} z^2 - \frac{ql}{6EI_x} z^3 + \frac{q}{EI_x} \cdot \frac{z^4}{24} \\ \varphi(z) = -\frac{ql^2}{3EI_x} z + \frac{ql}{2EI_x} z^2 - \frac{q}{EI_x} \cdot \frac{z^3}{6} \\ T(z) = ql(1-z) \quad M(z) = -\frac{qz^2}{2} + qlz - \frac{ql^2}{3} \end{array} \right.$$

Diagrammi:

$$\left\{ \begin{array}{l} T(0) = ql \\ M(0) = -\frac{ql^2}{3} \\ M(l) = \frac{ql^2}{6} \end{array} \right.$$



In particolare  $M=0$  per  $z^* = \left\{ \frac{3-\sqrt{3}}{3} l; \frac{3+\sqrt{3}}{3} l \right\}$

Ma  $\frac{3+\sqrt{3}}{3} l \approx 1,57... l > l$

dunque  $z^* = \frac{3-\sqrt{3}}{3} l \approx 0,423... l < l$

$$\begin{aligned} & -ql \pm \sqrt{q^2 l^2 - \frac{2}{3} q^2 l^2} \\ & = \frac{-q \pm q \frac{\sqrt{3}}{3}}{1} \\ & = l \pm \frac{\sqrt{3}}{3} l \end{aligned}$$

## DEFORMATA DISEGNATA A MANIERA

La DEFORMATA di una struttura è la configurazione che la stessa assume a seguito dell'applicazione dei carichi esterni. Per le strutture snelle, la deformata è rappresentata dalla configurazione della sola linea d'asse della trave. Con l'espressione "a maniera" si intende che il diagramma della deformata va rappresentato qualitativamente, a prescindere da misurazioni accurate - tenendo conto solo di versi delle concavità, flessi e sezioni a spostamento nullo.

## STUDIO DELLE CONCAVITÀ

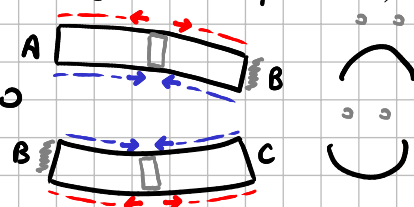
$$M_x = EI_x \frac{d^2 \varphi}{dz^2} = -EI_x \frac{d^2 v}{dz^2}$$

Ricordiamo da Analisi I che la CONCAVITÀ di una funzione dipende dalla sua derivata seconda: in questo caso la derivata seconda dello spostamento è direttamente proporzionale - a meno del segno - al momento flettente, il che significa che: [pag. successiva]



Se  $M(z) < 0 \rightarrow \begin{cases} v'' > 0 \\ \varphi' < 0 \end{cases} \mid \text{CONCAVITÀ VERSO IL BASSO (dove } v \text{ è positiva)}$   
 FIBRE TESE SOPRA

Se  $M(z) > 0 \rightarrow \begin{cases} v'' < 0 \\ \varphi' > 0 \end{cases} \mid \text{CONCAVITÀ VERSO L'ALTO}$   
 FIBRE TESE SOTTO



NOTA: ricordiamo che - a differenza delle funzioni studiate ad Analisi - la funzione  $v$  è positiva verso il basso, quindi è normale che la concavità sia verso il basso (NON verso l'alto) se la der. seconda è positiva (e viceversa).

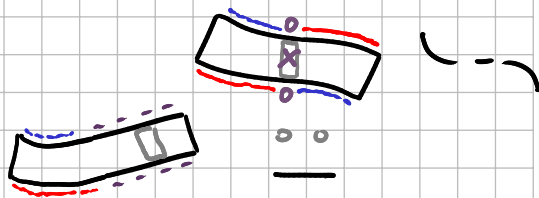
Due regole mnemoniche di nostro interesse:

- 1) Le fibre tese si trovano sempre dal lato in cui disegniamo il momento flettente sul suo diagramma; viceversa, il momento flettente va disegnato sempre dal lato in cui la trave presenta convessità;
- 2) La concavità della deformata assomiglia alla bocca di una faccina: se il momento è negativo la faccina è triste, se il momento è positivo la faccina sorride; sarà un metodo puerile ma funziona...

## FLESSI

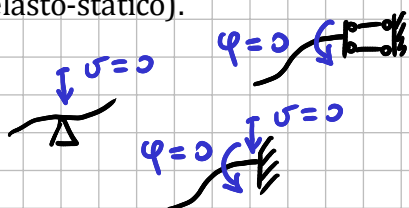
Cosa succede quando il momento è nullo? Quello che succede quando si passa da un tratto concavo verso il basso ad uno concavo verso l'alto o viceversa: abbiamo cioè un PUNTO DI FLESSO.

Se  $M(z) = 0 \rightarrow \begin{cases} v'' = 0 \\ \varphi' = 0 \end{cases} \mid \text{PUNTO DI FLESSO}$   
 FIBRE RILASSE



## SEZIONI A SPOSTAM./ROTAZ. NULLI

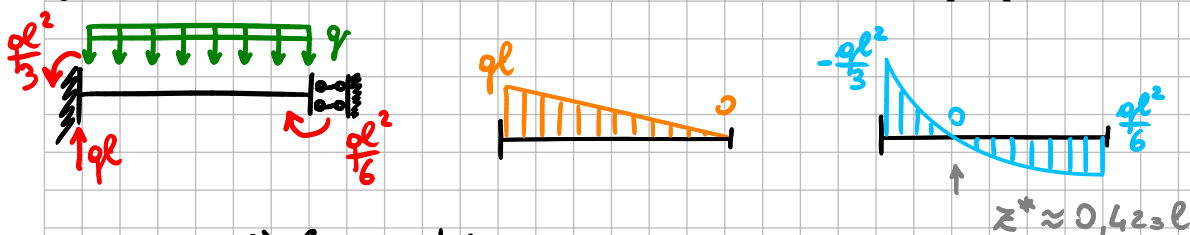
In corrispondenza di vincoli, lo spostamento e/o la rotazione della sezione retta possono essere nulli, dipendentemente dalla natura del vincolo. In questo caso ci rifacciamo alle equazioni di congruenza esterna (condizioni a contorno anche per il problema elasto-statico).



Dunque:

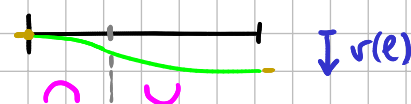


Quindi come sarebbe la deformata della trave usata nell'esempio precedente?



1) Concavità:

Regole:  $\cap$  fino a  $z^*$ ,  
 poi  $\cup$  fino a  $l$



2) Cond. a cont.:  $v(0), \varphi(0), \varphi(l) = 0$

$$\text{con } v(l) = \frac{ql^4}{24EI_x}$$